

## 원지뿌리의 성분연구

김진숙<sup>1\*</sup> · 박진서<sup>1,2</sup> · 김용욱<sup>2</sup> · 김종문<sup>3</sup>

<sup>1</sup>한국한의학연구원 한약제제개발부,

<sup>2</sup>동국대학교 생명자원과학대학 식물자원학과,

<sup>3</sup>한국한의학연구원 검사사업부

## Constituents from the Roots of *Polygala tenuifolia*

Jin Sook Kim,<sup>1\*</sup> Jin Sea Park,<sup>1,2</sup> Yong Wook Kim<sup>2</sup> and Jong Moon Kim<sup>3</sup>

<sup>1</sup>Dept. Herbal Pharmaceutical Development, Korea Institute of Oriental Medicine, Seoul, Korea,

<sup>2</sup>Department of Plant Resources, College of Biological Resources Science, Dongguk University, Seoul, Korea

<sup>3</sup>Dept. Quality Control and Standardization of Herbal Medicine, Korea Institute of Oriental Medicine, Seoul, Korea

**Abstract** – From the *n*-hexane layer of the MeOH extract of the roots of *Polygala tenuifolia*, three compounds (2-hydroxy-4,6-dimethoxy benzophenone, 3,4,5-trimethoxycinnamic acid ethyl ester and 1,2,3,6,7-pentamethoxyxanthone) were isolated. 2-Hydroxy-4,6-dimethoxybenzophenone and 3,4,5-trimethoxycinnamic acid ethyl ester were first isolated from *Polygala* genus. Their structures were elucidated employing 2D-NMR, IR, UV, and MS techniques.

**Key words** – *Polygala tenuifolia*, 2-hydroxy-4,6-dimethoxybenzophenone, 3,4,5-trimethoxycinnamic acid ethyl ester, 1,2,3,6,7-pentamethoxyxanthone, NOSEY experiment.

저자는 원지뿌리의 *n*-hexane 분획과 *n*-BuOH 분획에서  $\alpha$ -D-(6-O-sinapoyl)-glucopyranosyl-(1 $\rightarrow$ 2')- $\beta$ -D-(3'-O-sinapoyl)-fructofuranoside,  $\alpha$ -D-(6-O-(p-methoxy benzoyl))-glucopyranosyl-(1 $\rightarrow$ 2')- $\beta$ -D-{3'-O-(3'',4'',5''-trimethoxycinnamoyl)}-fructofuranoside,  $\alpha$ -D-(6-O-(p-hydroxy benzoyl))-glucopyranosyl-(1 $\rightarrow$ 2')- $\beta$ -D-{3'-O-(3'',4'',5''-trimethoxycinnamoyl)}-fructofuranoside,  $\alpha$ -D-glucopyranosyl-(1 $\rightarrow$ 2')- $\beta$ -D-(1'-O-sinapoyl)-fructofuranoside, 1,5-Anhydro-D-glucitol, ethyl- $\beta$ -D-glucopyranoside, 1,2,3,7-tetramethoxyxanthone, 1,7-dimethoxyxanthone을 분리 보고하였다.<sup>1,2)</sup> 계속적인 연구의 일환으로 수종의 비극성 화합물들을 분리하였기에 보고하고자 한다.

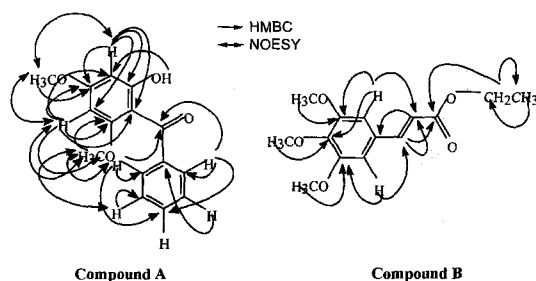
### 재료 및 방법

실험재료, 기기, 시약 및 표본 – 전보<sup>1)</sup> 참조.

\*교신저자 : Fax : 02-3442-1030

**추출 및 분리** – 전보에 보고한 바와 같이<sup>2)</sup> *n*-hexane 분획을 컬럼크로마토그라피하여 11개의 소fraction으로 전분리된 것 중에서 세번째 분획(472.6 mg)를 컬럼크로마토그라피(CHCl<sub>3</sub>-EtOAc=14:1, 5.5:1, 10:0.5)와 preparative TLC(Kiesel gel 60; *n*-hexane-EtOAc(7:2), CHCl<sub>3</sub>-EtOAc(10:0.5) and CHCl<sub>3</sub>-EtOH (119:1))를 하여 각각 화합물 A(5.5 mg), 화합물 B (15.6 mg), 화합물 C(4.4 mg)를 분리하였다.

**화합물 A:** C<sub>15</sub>H<sub>14</sub>O; white powder; mp(uncorr.): 88.6-88.9°C; IR(KBr): ν<sub>max</sub>=3450(br.), 3005, 2950, 2850, 1702, 1633, 1584, 1506, 1470, 1453, 1417, 1313, 1280, 1244, 1178, 1123, 997, 825 cm<sup>-1</sup>; UV (CHCl<sub>3</sub>) (log ε): λ<sub>max</sub>=302 (3.62), 252 (sh), 243 (3.93) nm; GCMS m/z (rel. int.): 258[M]<sup>+</sup> (35), 257[M-H]<sup>+</sup> (65), 181[M-C<sub>6</sub>H<sub>5</sub>]<sup>+</sup> (100), 77; HREIMS: 258.0866, required 258.0892; <sup>1</sup>H-NMR (CDCl<sub>3</sub>, 500 MHz): δ 3.37 (3H, s, 6-OCH<sub>3</sub>), 3.78 (3H, s, 4-OCH<sub>3</sub>), 5.85 (1H, d, J=2.3 Hz, H5), 6.10 (1H,



**Fig. 1.** Structures of Compounds and Correlations of HMBC and NOESY.

d,  $J=2.3$  Hz, H3), 7.30 (2H, t,  $J=7.2$  Hz, H10, 12), 7.37 (1H, tt,  $J=1.4$ , 7.0 Hz, H11), 7.45 (2H, dd,  $J=1.4$ , 7.0 Hz, H9, 13), 12.16 (1H, br. s, 2-OH,  $D_2O$ 첨가 후 사라짐);  $^{13}C$ -NMR ( $CDCl_3$ , 125 MHz):  $\delta$  105.73 (C1), 166.03 (C2), 93.74 (C3), 166.46 (C4), 91.36 (C5), 162.04 (C6), 199.14 (C7), 141.88 (C8), 127.79 (C9, 13), 127.52 (C10, 12), 130.83 (C11), 55.61 (4-OCH<sub>3</sub>), 55.09 (6-OCH<sub>3</sub>).

**화합물 B:**  $C_{14}H_{18}O_5$ ; Light yellow amorphous powder; mp(uncorr.): 66.5°C; IR(KBr):  $\nu_{max}=1702$ , 1633, 1586, 1467, 1417, 1279, 1125, 997, 825 cm<sup>-1</sup>; UV ( $CHCl_3$ )(log  $\varepsilon$ ):  $\lambda_{max}=307$  (4.77), 241 (4.75) nm; GCMS  $m/z$  (rel. int.): 266[M]<sup>+</sup> (95), 251[M-CH<sub>3</sub>]<sup>+</sup> (50), 83 (100); HREIMS: 266.1163, required 266.1154;  $^1H$ -NMR ( $CDCl_3$ , 500 MHz):  $\delta$  6.68 (2H, s, H2, 6), 7.52 (1H, d,  $J=15.8$  Hz, H7), 6.27 (1H, d,  $J=15.8$  Hz, H8), 3.80 (3H, s, 4-OCH<sub>3</sub>), 3.81 (6H, s, 3,5-OCH<sub>3</sub>), 4.19 (2H, q,  $J=7.1$  Hz, H1'), 1.27 (t,  $J=7.1$ , H2');  $^{13}C$ -NMR ( $CDCl_3$ , 125 MHz):  $\delta$  129.99 (C1), 105.33 (C2, 6), 153.48 (C3, 5), 140.22 (C4), 144.55 (C7), 117.56 (C8), 166.92 (C9), 60.47 (C1'), 14.33 (C2'), 58.18 (3,5-OCH<sub>3</sub>), 60.94 (4-OCH<sub>3</sub>).

**화합물 C:** white amorphous powder; IR(KBr):  $\nu_{max}=3010$ , 2920, 2852, 1640, 1620, 1610, 1467, 1427, 1410, 1271, 1254, 1218, 1197, 1120, 1051, 973, 863, 808, 768 cm<sup>-1</sup>; UV( $CHCl_3$ )(log  $\varepsilon$ ):  $\lambda_{max}=311$  (4.10), 345 (sh), 247 (4.59), 270 (sh) nm; GCMS  $m/z$  (rel. int.): 346[M]<sup>+</sup> (100), 315, 303, 288, 273;  $^1H$ -NMR ( $CDCl_3$ , 500 MHz):  $\delta$  3.85, 3.91, 3.92, 3.93, 3.96 (5×OCH<sub>3</sub>), 6.64 (1H, s, H4), 6.76 (1H, s, H5), 7.59 (1H, s, H8);  $^{13}C$ -NMR ( $CDCl_3$ ,

125 MHz):  $\delta$  56.24, 56.33, 56.41, 61.53, 62.06, 95.94, 99.02, 105.70, 115.51, 124.0, 146.72, 151.18, 153.48, 154.54, 154.73, 158.14, 174.2.

## 결과 및 고찰

**화합물 A –** 화합물 A는 IR spectrum에서 방향족 환과 수산기와 케톤기의 특징적인 흡수대가 나타났다. 또한 GC/MS spectrum에서 분자량( $M^+$ ) 피크가  $m/z$  258에서 나타났으며, 이는 HREIMS spectrum에서  $C_{15}H_{14}O_4$ 임을 확인할 수 있었다. 분자이온 피크에서  $C_6H_5$  fragment가 탈락한  $m/z$  181가 base 피크로 나타났다. NMR spectrum에서 두개의 메톡실기와 한개의 수산기 및 일곱개의 방향족 수소 피크들이 나타났다. HMBC experiment에서는 3번 위치의 수소( $\delta$  6.10)가 2번과 4번 탄소( $\delta$  166.03, 166.46)와 correlation하였으며, 5번의 수소( $\delta$  5.85)는 4번과 6번 탄소( $\delta$  166.46, 162.04)와 correlation하였다. 또한 NOESY experiment에서 4번에 위치한 메톡실기 ( $\delta$  3.78)는 3번과 5번의 수소( $\delta$  6.10, 5.85)와 correlation하였으며 6번에 위치한 메톡실기( $\delta$  3.37)는 5번, 12번, 13번 수소( $\delta$  5.85, 7.30, 7.45)들과 correlation함을 나타냈다(Figure 참고). 이러한 데이터를 종합 분석한 결과  $\delta$  3.78의 메톡실기는 4번 위치에 존재하며,  $\delta$  3.37의 메톡실기는 6번 위치에 존재하며,  $\delta$  6.10와  $\delta$  5.85 (each d,  $J=2.3$  Hz)에 각각 나타난 방향족 수소들은 3번과 5번 위치에 존재함을 확인할 수 있다.  $D_2O$  교환으로 사라지는  $\delta$  12.16에 나타난 수산기는 HMBC experiment에서 3번 위치의 탄소( $\delta$  93.74)와 correlation하였으며, 또한 9번과 13번의 방향족 수소 ( $\delta$  7.45)들은 7번 위치에 있는 케톤( $\delta$  199.14)과 correlation함을 나타냈다. 두개의 메톡실기와 한개의 수산기의 위치를 HMBC 및 NOESY experiment로 확인한 결과 이 화합물은 2-hydroxy-4,6-dimethoxybenzophenone임을 알 수 있다. 이 화합물은 또한 callophyllolide의 산 가수분해 산물 중의 하나이다.<sup>3)</sup> 이 상의 기기분석 및 관련 문헌과의 비교로 화합물 A는 2-hydroxy-4,6-dimethoxybenzophenone으로 동정하였다.

**화합물 B –** 화합물 B는 HREIMS에 의해서  $C_{14}H_{18}O_5$  ( $m/z$  266.1163)임을 알 수 있으며, UV와 IR spectra를 통하여 방향족 환과 conjugated carboxylic group<sup>5)</sup>이 존재함을 추측할 수 있었다. NMR spectrum

에서 3개의 메톡실기( $\delta$ 3.80, 3.81)와 2개의 방향족 수소( $\delta$ 6.68, s)와 trans conjugated double bond ( $\delta$ 7.52, 6.27, each d,  $J=15.7\text{ Hz}$ ) 퍼이크들을 통해서 3,4,5-trimethoxycinnamoyl ethyl ester임을 알 수 있다. 또한 HMBC experiment에서 ethyl ester의 메틸렌 수소는  $\delta$ 4.19에서 quartet ( $J=7.1\text{ Hz}$ )으로 나타났으며, 이것은  $\delta$ 14.33에서 나타난 메틸기와  $\delta$ 166.92에서 나타난 카보닐기와 correlation하였다. 또한  $\delta$ 1.27에서 triplet ( $J=7.1\text{ Hz}$ )으로 나타난 메틸기는 메틸렌 탄소와 correlation하였다. 이러한 모든 데이터를 종합 분석한 결과 화합물 B는 3,4,5-trimethoxycinnamic acid ethyl ester임을 알 수 있었다.

화합물 C는 1,2,3,6,7-pentamethoxyxanthone로 문헌과 비교한 결과 일치하였으며,<sup>4)</sup> 이미 Ito 등에 의해서 원지에서 분리 보고되었다.

2-Hydroxy-4,6-dimethoxybenzophenone과 3,4,5-trimethoxycinnamic acid ethyl ester는 *Polygala*속에서 처음으로 분리, 보고된다.

### 감사의 글

본 연구는 보건의료연구개발사업(HMP-97-M-6-

0062)으로 수행되었으며, 이에 감사를 드립니다. 또한 NMR 및 MS를 측정한 서울대학교 공동기기원의 이화선, 신혜순 선생에게 감사를 드립니다.

### 인용문헌

1. 김진숙, 이영선, 이제현, 김정숙 (1999) 원지(*Polygala tenuifolia* Willd.) 뿌리의 성분연구. 생약학회지 **30**(2): 168-172.
2. 김진숙, 박진서, 김기영, 도상학 (1999) 원지뿌리의 성분연구. 생약학회지 **30**(4): 417-419.
3. Harborne, J. B. The Flavonoids, Academic Press, New York, p. 82 (1975).
4. Ito, H., Taniguchi, H., Kita, T., Matsuki, Y., Tachikawa, E. and Fujita, T. (1977) Xanthones and a cinnamic acid derivatives from *Polygala tenuifolia*, M. Phytochemistry **30**(6): 2061-2065.

(2000년 11월 16일 접수)